

Простая схема астигматического преобразования лазерных мод

А.А.Малютин

Описана простая астигматическая схема получения сфокусированных лазерно-гауссовых пучков при $\pi/2$ -конверсии эрмит-гауссовых мод излучения. Оценена зона вблизи фокальной области линзы, в которой пучок удовлетворяет условиям для захвата и удержания микрочастиц. Показано, что предлагаемая оптическая схема использует дробное преобразование Фурье, применение которого в $\pi/2$ -конвертере продемонстрировано впервые.

Ключевые слова: моды Лагерра – Гаусса, астигматическая оптика, фокусировка, дробное преобразование Фурье.

1. Уникальные свойства пучков Лагерра – Гаусса (ЛГ) делают их привлекательными для различных применений, таких как манипуляции с микроскопическими биологическими объектами и материальными частицами [1, 2], захват атомов [3, 4] и управление их движением [5]. В большинстве случаев ЛГ-пучки должны быть сфокусированы в зависимости от конкретной цели в пятно, диаметр которого обычно составляет единицы или десятки микрометров. Типичная процедура получения таких пучков состоит из двух ступеней. Первая – генерация ЛГ-моды, вторая – собственно фокусировка в пятно нужного размера.

На первой ступени существуют две возможности получения ЛГ-моды. Одна – это использование созданных с помощью компьютера голограмм [6, 7], которые, в принципе, могут быть приготовлены почти для любого вида распределения исходного пучка. Другая возможность – преобразование исходной моды Эрмита – Гаусса (ЭГ) с помощью $\pi/2$ -конвертера [8]. В основе последнего метода лежит сходство между разложением любой ЛГ-моды в ряд по базису ЭГ-мод

$$u_{nm}^{LG}(x, y, z) = \sum_{k=0}^N i^k b(n, m, k) u_{N-k, k}^{HG}(x, y, z) \quad (1)$$

и разложением ЭГ-моды, повернутой относительно декартовой системы координат на угол 45° («диагональной» моды),

$$u_{nm}^{HG}\left(\frac{x+y}{\sqrt{2}}, \frac{x-y}{\sqrt{2}}, z\right) = \sum_{k=0}^N b(n, m, k) u_{N-k, k}^{HG}(x, y, z). \quad (2)$$

Единственная разница между выражениями (1) и (2) состоит в наличии в (1) коэффициента i^k , отсутствующего в (2) [8]. Таким образом, чтобы преобразовать любую ЭГ-моду порядка $n + m$ в соответствующую ЛГ-моду необходимо ввести фазовую задержку $\pi/2$ между членами

последовательности в разложении (2). Это может быть осуществлено при использовании астигматического $\pi/2$ -конвертера, схема которого предложена в [8], или любого другого конвертера из описанных в [9]. Фокусировка ЛГ-пучка может быть осуществлена обычным образом. Единственная предосторожность, которую следует соблюдать, это аккуратность юстировки, т. к. пучок ЛГ может быть существенно искажен такими aberrациями, как астигматизм и кома.

В настоящей статье мы рассмотрим метод получения сфокусированных ЛГ-пучков, который объединяет конверсию из ЭГ-моды и фокусировку в одной простой оптической схеме. Для объяснения принципа построения предлагаемой схемы необходимо напомнить некоторые основы оптики гауссовых пучков.

2. Хорошо известно, что распространение гауссова пучка в пространстве может быть описано двумя простыми соотношениями, дающими зависимость размера пучка w и кривизны его волнового фронта ρ от расстояния z [10]:

$$w(z) = w_0(1 + \tan^2 \theta)^{1/2}, \quad (3)$$

$$\rho(z) = \frac{\tan \theta}{z_R(1 + \tan^2 \theta)}, \quad (4)$$

где $\theta = \arctan(z/z_R)$ – фаза Гуи [10] пучка для координаты z , измеряемой от положения перетяжки ($w_0 = w(z=0)$); $z_R = \pi w_0^2/\lambda$ – рэлеевская длина (или длина перетяжки) пучка (рис.1). В точках, соответствующих $\theta = \pm\pi/4$, пучок имеет одинаковые размеры и противоположные по знаку (максимальный и минимальный) ради-

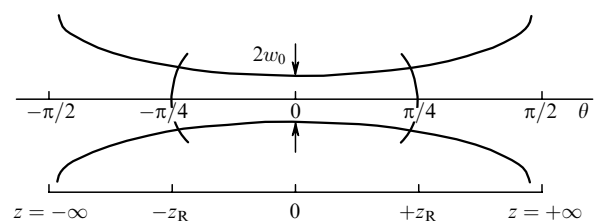


Рис.1. Профиль гауссова пучка в зависимости от изменения фазы Гуи $\theta = \arctan(z/z_R)$.

А.А.Малютин. Институт общей физики им. А.М.Прохорова РАН, Россия, 119991 Москва, ул. Вавилова, 38; тел.: (095) 135-03-27, факс: (095)135-20-55, e-mail: amal@kapella.gpi.ru

Поступила в редакцию 1 апреля 2003 г.

усы кривизны волнового фронта $\pm z_R/2$. При распространении пучка от любой из этих точек в точку $\theta = \pi/2$ разность накопленных фаз Гуи (НФГ) для них $\Delta\theta = \pi/2$, что определяется различием исходных координат на оси θ . Отметим, что, стартуя из разных точек пространства, в точке $\theta = \pi/2$ (или $z = \infty$) в обоих случаях пучок становится бесконечным. Распространение в бесконечность или дальнюю зону можно заменить распространением в фокальную область линзы, что приводит к тому же результату.

Для того чтобы использовать описанное свойство гауссова пучка для преобразования ЭГ-моды в ЛГ-моду, необходимо в некоторой фиксированной точке пространства иметь диагональную моду (2) с седлообразным волновым фронтом, т. е. таким, кривизны которого по осям x и y равны и противоположны по знаку. В соответствии с приведенной аргументацией, измененная таким образом ЭГ-мода, будучи сфокусированной, должна появиться в фокальной плоскости линзы в виде распределения, соответствующего ЛГ-моду излучения. Чтобы проверить, верны ли наши рассуждения, рассмотрим действие оптической схемы, приведенной на рис.2.

Схема на рис.2 состоит из двух совмещенных ортогонально цилиндрических линз с оптической силой $\pm 1/F$ (оптический квадруполь [11]) и сферической линзы с фокусным расстоянием f), расположенной от них на расстоянии L . Можно показать, что величина L в нашем случае не влияет на разность НФГ и для простоты может быть исключена из рассмотрения. Это легко понять, принимая во внимание, что согласно приведенному выше рассуждению исходный пучок должен распространяться в «бесконечность». $ABCD$ -матрицами, описывающими распространение пучка от входа в оптический квадруполь в фокальную плоскость сферической линзы в плоскостях xz и yz , являются матрицы

$$T_{xz} = \begin{pmatrix} -f/F & f \\ -1/f - 1/F & 1 \end{pmatrix}, T_{yz} = \begin{pmatrix} f/F & f \\ -1/f + 1/F & 1 \end{pmatrix}. \quad (5)$$

Расчет НФГ в этих плоскостях с использованием соотношения [12]

$$\tan \theta = \frac{\lambda B}{(A + B\rho)\pi w^2}, \quad (6)$$

где A и B – элементы $ABCD$ -матрицы, и в предположении, что волновой фронт исходного ЭГ-пучка с $w = w_0$ является плоским ($\rho = 0$), дает

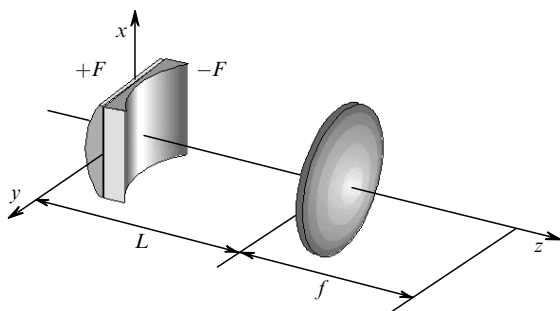


Рис.2. Простая оптическая схема преобразования ЭГ-моды в сфокусированную ЛГ-моду.

$$\tan \theta_{xz} = \frac{-F\lambda}{\pi w_0^2}, \quad \tan \theta_{yz} = \frac{F\lambda}{\pi w_0^2}. \quad (7)$$

В соответствии с (7) разность $\Delta\theta = \theta_{yz} - \theta_{xz} = \pi/2$ может быть достигнута только в том случае, если $w_0 = (F\lambda/\pi)^{1/2}$, и при этом не зависит от фокусного расстояния f .

Введение между элементами схемы на рис.2 дополнительного расстояния (L) или расширителя пучка (РП), например типа телескопа Кеплера, позволяет управлять размером пятна сфокусированной ЛГ-моды. Система с РП описывается матрицами

$$T'_{xz} = \frac{1}{M} \begin{pmatrix} -f/F & f \\ -M^2/f - 1/F & 1 \end{pmatrix}, \quad (8)$$

$$T'_{yz} = \frac{1}{M} \begin{pmatrix} f/F & f \\ -M^2/f + 1/F & 1 \end{pmatrix},$$

где M – коэффициент расширения и предполагается, что оптический квадруполь и сферическая линза находятся в сопряженных плоскостях перед и после РП. В соответствии с (8) размер пучка в фокальной плоскости сферической линзы $w_f = f(\lambda/\pi F)^{1/2} M^{-1}$ в обеих плоскостях xz и yz одинаков. Кривизны же волнового фронта оказываются различными:

$$\rho_{xz} = \frac{1}{f} \left(1 + \frac{M^2 F}{2f} \right), \quad \rho_{yz} = \frac{1}{f} \left(1 - \frac{M^2 F}{2f} \right). \quad (9)$$

Более того, при $M^2 F \gg 2f$ они равны, но противоположны по знаку. Это приводит к вариациям размера пучка, кривизны волнового фронта и НФГ вблизи фокальной плоскости линзы, что, в свою очередь, ограничивает область, в которой пучок может рассматриваться как чистая ЛГ-мода. Рассчитанные значения указанных трех параметров в плоскостях xz и yz , а также разность НФГ показаны на рис.3 (расчет проведен при $F = 85$ см, $f = 2$ см, $M = 5$, $\lambda = 0.63$ мкм). Результаты выполненного с использованием программы ФРЕНЕЛЬ [13] численного расчета распространения диагональной ЭГ-моды u_{01}^{HG} в окрестности фокальной плоскости сферической линзы (см. рис.2) приведены на рис.4. Как следует из рис.3,а и 4, размер зоны, в которой имеется эллиптичность пучка d_{max}/d_{min} , не превышающая 1.3 (если пользоваться методом измерения диаметра пучка d на основе вторых моментов [14]), и происходит снижение «барьера» интенсивности вокруг осевой точки менее чем на 6.9%*, составляет примерно $\pm 0.14z_r$ ($z_r = \pi w_f^2/\lambda$) вблизи фокальной плоскости линзы.

Можно заметить (рис.3,б), что при $z/z_r = 0$ величина НФГ в плоскостях xz и yz равна соответственно $3\pi/4$ и $\pi/4$. В терминах дробных фурие-преобразований (ФП) [15] это аналогично выполнению полутора ФП этого пучка в плоскости xz и половины ФП в ортогональной плоскости yz , т. е. имеем ФП порядка $a = 3/2$ ($\mathcal{F}^a[u_{nm}^{GH}(x, y)]_x$) и порядка $b = 1/2$ ($\mathcal{F}^b[u_{nm}^{GH}(x, y)]_y$). Следовательно, схема на рис.2 есть ничто иное, как $\pi/2$ -конвертер на основе дробных ФП. Дополнительный кеплеровский РП, установленный перед сферической линзой, добавляет еще по два ФП в каждой из плоскостей xz и yz .

* За меру непостоянства максимальной интенсивности в кольцевом распределении принята разность $1 - I_{max}(\varphi)/I_{max}^{abs}$, где I_{max}^{abs} – абсолютный максимум в распределении пучка; φ – полярный угол.

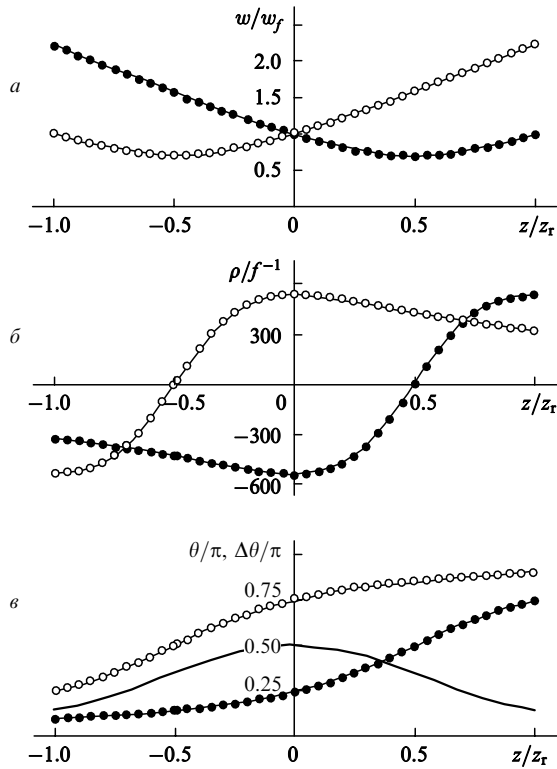


Рис.3. Изменения в плоскостях xz (\circ) и yz (\bullet) нормированных размера пучка w/w_f (а), кривизны волнового фронта ρ/f^{-1} (б) и НФГ θ/π (в) вблизи фокальной плоскости фокусирующей линзы. Сплошная линия – разность НФГ $\Delta\theta/\pi$. Нормированная координата $z/z_r = 0$ соответствует фокальной плоскости линзы с фокусным расстоянием f .

расстоянием $F/\sqrt{2}$ и оптическим квадруполем*, аналогичным установленному на входе. Расстояние между всеми тремя элементами должно равняться $F/\sqrt{2}$, как показано на рис.5. Сферическая линза и второй оптический квадруполь возвращают размер пучка и кривизну его волнового фронта к исходным значениям. При этом накапливается необходимая фазовая задержка $\pi/2$ между нормальными компонентами диагональной ЭГ-моды. В результате на выходе оптической системы появляется недеформированная ЛГ-мода, которая распространяется в свободном пространстве без каких-либо искажений и может быть сфокусирована дополнительной линзой в пятно необходимого размера. $ABCD$ -матрицы в соответствующих плоскостях схемы на рис.5 являются матрицы

$$T''_{xz} = \begin{pmatrix} \cos \frac{3\pi}{4} & F \sin \frac{3\pi}{4} \\ -\frac{1}{F} \sin \frac{3\pi}{4} & \cos \frac{3\pi}{4} \end{pmatrix}, \tag{11}$$

$$T''_{yz} = \begin{pmatrix} \cos \frac{\pi}{4} & F \sin \frac{\pi}{4} \\ -\frac{1}{F} \sin \frac{\pi}{4} & \cos \frac{\pi}{4} \end{pmatrix}.$$

4. Таким образом, продемонстрирована возможность преобразования ЭГ-моды в ЛГ-моду с одновременной фокусировкой последней в пятно небольшого размера. Согласно численным расчетам полезный для целей захвата и удержания микрочастиц диапазон вдоль

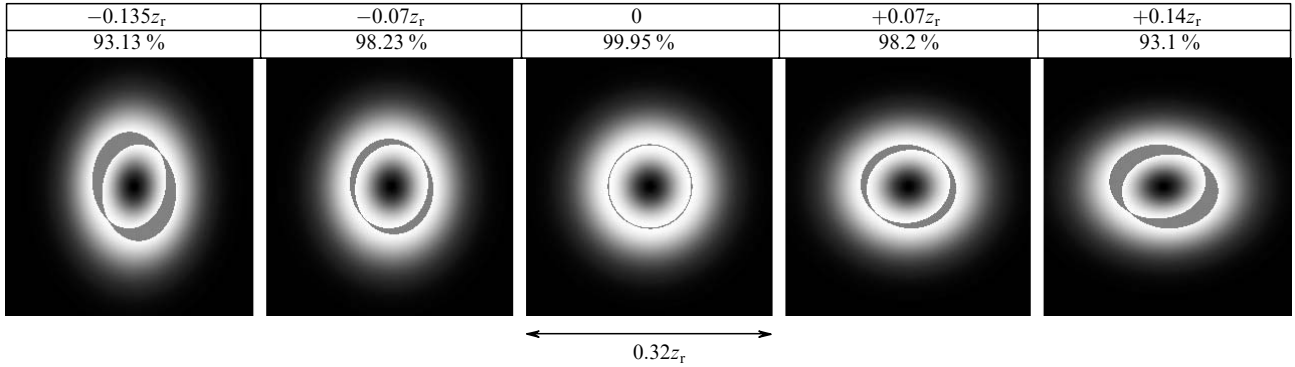


Рис.4. Изменения интенсивности ЛГ-моды вблизи фокальной плоскости линзы с фокусным расстоянием f . Цифры в первом ряду над рисунками – расстояние от фокальной плоскости; цифры во втором ряду – уровень эквиденсит (в процентах от максимальной интенсивности), являющихся границами выделенных зон.

Поэтому, в принципе, кривые для НФГ на рис.3,в должны быть смещены в этом случае по вертикальной оси на единицу вверх. Это, однако, не меняет сущности оптической схемы, хотя ни выражение (5), ни выражение (8) не совпадают с канонической формой $ABCD$ -матрицы дробного ФП ($a = 2\theta/\pi$), которая должна иметь вид [16]

$$\begin{pmatrix} \cos \theta & f' \sin \theta \\ -\sin \theta/f' & \cos \theta \end{pmatrix}, \tag{10}$$

где f' – масштаб дробного ФП.

3. Схема на рис.2 может быть трансформирована в «идеальный» $\pi/2$ -конвертер на основе дробного ФП заменой сферической линзы с фокусным расстоянием f двумя другими элементами: сферической линзой с фокусным

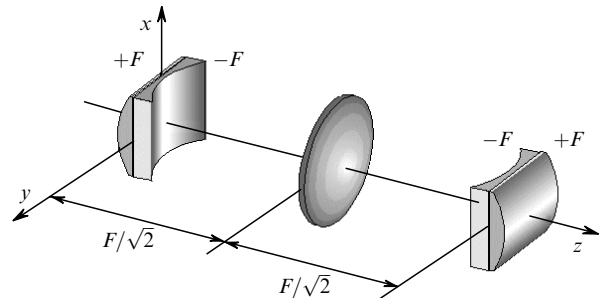


Рис.5. Оптическая схема $\pi/2$ -конвертера мод на основе дробного ФП с порядками $3/2$ (плоскость xz) и $1/2$ (плоскость yz).

* Оптический квадруполь может быть заменен линзой с плоской и торической поверхностями.

оптической оси фокусирующей линзы предлагаемой схемы составляет примерно $\pm 0.14z_r$ при условии, что допустимы некоторая эллиптичность пучка ($d_{\max}/d_{\min} = 1.3$) и понижение «барьера» интенсивности вокруг осевой точки на 6.9%. Показано, что предложенная схема аналогична $\pi/2$ -конвертеру, основанному на дробных ФП порядков $3/2$ и $1/2$. Данная схема может быть трансформирована для получения чистой ЛГ-моды излучения с сохранением порядка ФП.

Работа выполнена в рамках программы Президиума РАН «Фемтосекундная оптика и физика сверхсильных лазерных полей» (Госконтракт № 66/03) и при поддержке РФФИ (грант № 02-02-17718).

1. O'Neil A.T., Courtial J. *Opt. Commun.*, **193**, 45 (2001).
2. MacDonald M.P., Paterson L., Armstrong G., Arlt J., Bryant P.E., Sibbett W., Dholakia K. *Tech. Dig. Intern. Conf. on Advanced Laser Technologies (ALT-02)* (Adelboden, Switzerland, 2002, p. 26).
3. Kuga T., Torii Y., Shiokawa N., Hirano T., Shimizu Y., Sasada H. *Phys. Rev. Lett.*, **78**, 4713 (1997).
4. Wright E.M., Arlt J., Dholakia K. *Phys. Rev. A*, **63**, 013608 (2001).
5. Rhodes D.P., Lancaster G.P.T., Livesey J., McGloin D., Arlt J., Dholakia K. *Opt. Commun.*, **214**, 247 (2002).
6. He H., Heckenberg N.R., Rubinsztein-Dunlop H.J. *J. Mod. Opt.*, **41**, 217 (1995).
7. Arlt J., Dholakia K., Allen L., Padgett M.J. *J. Mod. Opt.*, **45**, 1231 (1998).
8. Beijersbergen M.W., Allen L., van der Veen H.E.L.O., Woerdman J.P. *Opt. Commun.*, **96**, 123 (1993).
9. Malyutin A.A. *Proc. SPIE Int. Soc. Opt. Eng.*, **4900**, 908 (2002).
10. Siegman A.E. *Lasers* (Mill Valley, CA: Univ. Science Books, 1986).
11. Nemes G., Siegman A.E. *J. Opt. Soc. Am. A*, **11**, 2257 (1994).
12. Erden M.F., Ozaktas H.N. *J. Opt. Soc. Am. A*, **14**, 2190 (1997).
13. Епатко И.В., Малютин А.А., Серов Р.В., Соловьев Д.А., Чулкин А.Д. *Квантовая электроника*, **25**, 717 (1998).
14. International Standards Organization, document 11146:1999. *Test Methods for Laser Beam Parameters: Beam Width, Divergence and Beam Propagation Factor*.
15. Alieva T., Bastiaans M.J., Calvo M.L. *Recent Research Developments in Optics*, **1**, 105 (2001).
16. Lohmann A.W. *J. Opt. Soc. Am. A*, **10**, 2181 (1993).